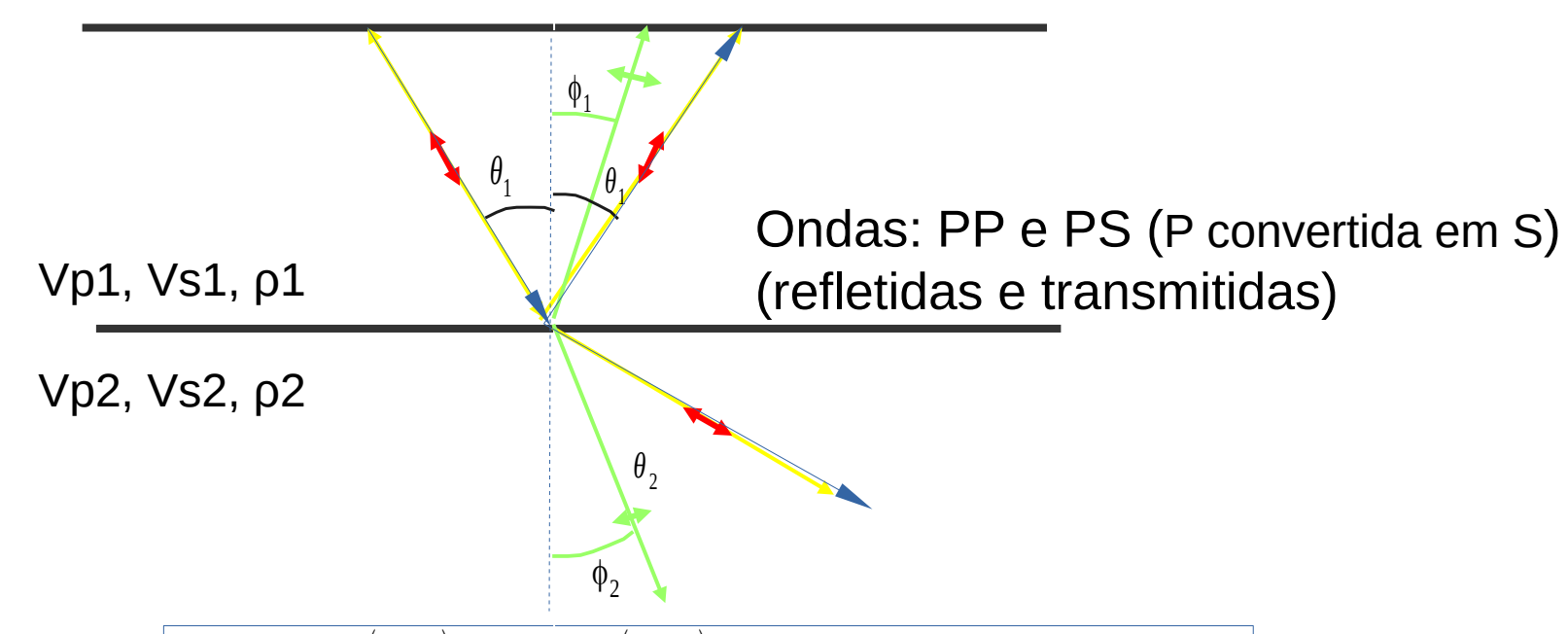
AGG0232-Sísmica I 2023

Aula 4
Coeficientes de
Reflexão e Transmissão
(R e T)

Ondas geradas numa interface que separa dois meios elásticos (meios com rigidez → propagam-se ondas P e S)



Lei de Snell

$$p = \frac{\operatorname{sen}(\theta_1)}{V_{p1}} = \frac{\operatorname{sen}(\theta_2)}{V_{p2}} = \frac{\operatorname{sen}(\phi_1)}{V_{s1}} = \frac{\operatorname{sen}(\phi_2)}{V_{s2}}$$

p= parâmetro do raio é constante durante toda a propagação

A Lei de Snell trata dos aspectos geométricos. A partição da energia na interface é equacionada pelos Coeficientes de **R**eflexão e **T**ransmissão (eqs. De Zoeppritz)

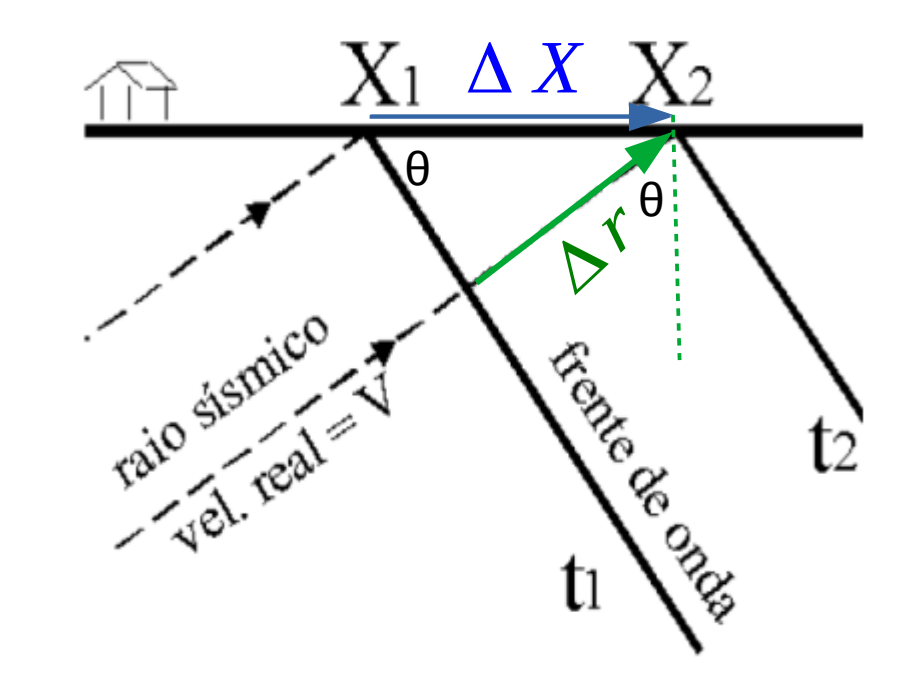
Velocidade medida x Velocidade Real

$$V_{medida} = \frac{X_2 - X_1}{t_2 - t_1} = \frac{\Delta X}{\Delta t}$$

$$V_{medida} = V_{aparente} = V_{ap}$$

$$V_{real} = \frac{\Delta r}{\Delta t}$$
 $sen(\theta) = \frac{\Delta r}{\Delta X}$

$$V_{real} = \frac{\Delta X sen(\theta)}{\Delta t} = sen(\theta) V_{medida}$$



$$V_{ap} = \frac{V_r}{sen(\theta)}$$

$$\frac{1}{V_{ap}} = \frac{sen(\theta)}{V_r}$$

Vagarosidade (Slowness)

Conceitualmente, a teoria para a dedução dos Coeficientes R-T

- 1) Teoria da Elasticidade:
- Parâmetros elásticos (definições)
- Lei de Hooke: esforço = **C** deformação
- Tensor dos esforços
- Tensor das deformações
- **C** = Matriz (6X6) das constantes elásticas
- 2) Dedução da Equação da onda:

Análise dos esforços (força/área) resultantes por unidade de volume 2a. Lei de newton (F=m.a) (m=pv)

- 3) Expressões para a solução da eq. de onda: aproximação para onda planas
- 4) Condições de contorno (continuidade) na interface dos esforços e deformações, normais e de cisalhamento => 4 equações, a partir das quais podem ser obtidas expressões para os coeficientes de Reflexão e Transmissão Rpp, Tpp, Rps e Tps (Equações de Zoeppritz (1919))

$$R_{PP} = \frac{A_{refletida}}{A_{incidente}}$$

$$R_{PP} = \frac{A_1}{A_0}$$

$$T_{PP} = \frac{A_{transmitida}}{A_{incidente}}$$

$$T_{PP} = \frac{A_2}{A_0}$$

Falta inserir um desenho aqui

Equações de Zoeppritz reescritas por Aki e Richards (1980)

$$\mathbf{Q} = \begin{pmatrix} \dot{P}\dot{P} & \dot{S}\dot{P} & \dot{P}\dot{P} & \dot{S}\dot{P} \\ \dot{P}\dot{S} & \dot{S}\dot{S} & \dot{P}\dot{S} & \dot{S}\dot{S} \\ \dot{P}\dot{P} & \dot{S}\dot{P} & \dot{P}\dot{P} & \dot{S}\dot{P} \\ \dot{P}\dot{S} & \dot{S}\dot{S} & \dot{P}\dot{S} & \dot{S}\dot{S} \end{pmatrix} = \mathbf{P}^{-1}\mathbf{R}$$

where P is the matrix

$$\begin{pmatrix} -\sin\Theta_1 & -\cos\Phi_1 & \sin\Theta_2 & \cos\Phi_2 \\ \cos\Theta_1 & -\sin\Phi_1 & \cos\Theta_2 & -\sin\Phi_2 \\ 2\rho_1 V_{S1} \sin\Phi_1 \cos\Theta_1 & \rho_1 V_{S1} (1-2\sin^2\Phi_1) & 2\rho_2 V_{S2} \sin\Phi_2 \cos\Theta_2 & \rho_2 V_{S2} (1-2\sin^2\Phi_2) \\ -\rho_1 V_{P1} (1-2\sin^2\Phi_1) & \rho_1 V_{S1} \sin2\Phi_1 & \rho_2 V_{P2} (1-2\sin^2\Phi_2) & -\rho_2 V_{S2} \sin2\Phi_2 \end{pmatrix}$$

and R is the matrix

$$\begin{pmatrix} \sin\Theta_1 & \cos\Phi_1 & -\sin\Theta_2 & -\cos\Phi_2 \\ \cos\Theta_1 & -\sin\Phi_1 & \cos\Theta_2 & -\sin\Phi_2 \\ 2\rho_1 V_{S1} \sin\Phi_1 \cos\Theta_1 & \rho_1 V_{S1} (1-2\sin^2\Phi_1) & 2\rho_2 V_{S2} \sin\Phi_2 \cos\Theta_2 & \rho_2 V_{S2} (1-2\sin^2\Phi_2) \\ \rho_1 V_{P1} (1-2\sin^2\Phi_1) & -\rho_1 V_{S1} \sin2\Phi_1 & -\rho_2 V_{P2} (1-2\sin^2\Phi_2) & \rho_2 V_{S2} \sin2\Phi_2 \end{pmatrix}.$$

Equações de Zoeppritz na forma matricial

$$\begin{bmatrix} \sin \theta_i & \cos \phi_r & -\sin \theta_t & \cos \phi_t \\ \cos \theta_i & -\sin \phi_r & \cos \theta_t & \sin \phi_t \\ \sin 2\theta_i & a_1 \cos 2\phi_r & b_1 \sin 2\theta_t & -c_1 \cos 2\phi_t \\ \cos 2\phi_r & -a_2 \sin 2\phi_r & -b_2 \cos 2\phi_t & -c_2 \sin 2\phi_t \end{bmatrix}$$

$$\times \begin{bmatrix} R_{PP} \\ R_{PS} \\ T_{PP} \\ T_{PS} \end{bmatrix} = \begin{bmatrix} -\sin\theta_i \\ \cos\theta_i \\ \sin 2\theta_i \\ -\cos 2\phi_r \end{bmatrix}. \quad (3.163)$$

The system of equations in (3.163) can be solved numerically on a computer, for each set of parameters.

We have also given the solution for reflection and transmission in terms of slownesses, which result in more-compact expressions. Readers are referred to Box 3.4 for the algebraic solution.

Ikelle e Amundsen,1995 Introduction to Petroleum Seismology

BOX 3.4: R/T COEFFICIENTS IN TERMS OF SLOWNESS: SOLID-SOLID INTERFACE

This box gives the reflection and transmission coefficients at a solid-solid interface in terms of horizontal slowness p and vertical slownesses:

$$q_{P1} = \sqrt{V_{P1}^{-2} - p^2}$$
 : P-wave top layer;

$$q_{S1} = \sqrt{V_{S1}^{-2} - p^2}$$
 : S-wave top layer;

$$q_{S1} = \sqrt{r_{S1} - p}$$
 . S-wave top layer,

$$q_{P2} = \sqrt{V_{P2}^{-2} - p^2}$$
 : P-wave bottom layer; and

$$q_{S2} = \sqrt{V_{S2}^{-2} - p^2} \quad : \quad \text{S-wave bottom layer}.$$

Introduce

$$d_1 = 2p^2 \Delta \mu (q_{P1} - q_{P2}) + (\rho_1 q_{P2} + \rho_2 q_{P1});$$

$$d_2 = 2p^2 \Delta \mu (q_{S1} - q_{S2}) + (\rho_1 q_{S2} + \rho_2 q_{S1});$$

$$d_3 = p[2 \Delta \mu (q_{P1} q_{S2} + p^2) - \Delta \rho];$$

$$a_3 = p[2\Delta\mu(q_{P1}q_{S2} + p) - \Delta\rho$$

$$d_4 = p[2\Delta\mu(q_{P2}q_{S1} + p^2) - \Delta\rho];$$

$$c_1 = 2p^2 \Delta \mu (q_{P1} + q_{P2}) - (\rho_1 q_{P2} - \rho_2 q_{P1});$$

$$c_2 = -[2p^2\Delta\mu(q_{S1} + q_{S2}) - (\rho_1q_{S2} - \rho_2q_{S1})];$$

$$c_3 = -p[2\Delta\mu(q_{P1}q_{S2} - p^2) + \Delta\rho];$$

 $c_4 = -p[2\Delta\mu(q_{P2}q_{S1} - p^2) + \Delta\rho].$

with contrast parameters
$$\Delta \mu = \mu_1 - \mu_2$$
 and $\Delta \rho = \rho_1 - \rho_2$. The reflection coefficients for downward-

with contrast parameters $\Delta \mu = \mu_1 - \mu_2$ and $\Delta \rho =$ $\rho_1 - \rho_2$. The reflection coefficients for downwardtraveling incident plane waves in the lower solid

$$R_{PP} = \frac{c_1 d_2 - c_3 d_4}{d_1 d_2 + d_4 d_3};$$

$$R_{PS} = -\left(\frac{V_{P1}}{V_{S1}}\right) \frac{c_3 d_1 + c_1 d_3}{d_1 d_2 + d_4 d_3}.$$

$$R_{SP} = \left(\frac{V_{S1}}{V_{P1}}\right) \frac{c_4 d_2 - c_2 d_4}{d_1 d_2 + d_4 d_2};$$

$$RSS = -\frac{c_2d_1 + c_4d_3}{d_1d_2 + d_4d_3}.$$

The corresponding transmission coefficients are

$$T_{PP} = \left(\frac{V_{P1}}{V_{P2}}\right) \frac{2\rho_1 q_{P1} d_2}{d_1 d_2 + d_4 d_3};$$

$$T_{PS} = -\left(\frac{V_{P1}}{V_{S2}}\right) \frac{2\rho_1 q_{P1} d_4}{d_1 d_2 + d_4 d_3}.$$

$$T_{SP} = \left(\frac{V_{S1}}{V_{P2}}\right) \frac{2\rho_1 q_{S1} d_3}{d_1 d_2 + d_4 d_3};$$

 $T_{SS} = \left(\frac{V_{S1}}{V_{S2}}\right) \frac{2\rho_1 q_{S1} d_1}{d_1 d_2 + d_4 d_2}.$

The reflection coefficients for upward traveling incident plane waves in the upper solid are

$$R_{PP}^{(U)} = -\frac{d_2c_1 + d_3c_4}{d_1d_2 + d_4d_3};$$

$$R_{PS}^{(U)} = -\left(\frac{V_{P2}}{V_{S2}}\right) \frac{d_4c_1 - d_1c_4}{d_1d_2 + d_4d_3}.$$

 $R_{SP}^{(U)} = -\left(\frac{V_{S2}}{V_{P2}}\right) \frac{d_2c_3 + d_3c_2}{d_1d_2 + d_3d_2};$

$$R_{SS}^{(U)} = -\frac{d_4c_3 - d_1c_2}{d_1d_2 + d_4d_2}$$

The corresponding transmission coefficients are

$$T_{PP}^{(U)} = \left(\frac{V_{P2}}{V_{P1}}\right) \frac{2\rho_2 q_{P2} d_2}{d_1 d_2 + d_4 d_3};$$

$$T_{PS}^{(U)} = \left(\frac{V_{P2}}{V_{ex}}\right) \frac{2\rho_2 q_{P2} d_3}{d_1 d_2 + d_2 d_3}$$

$$T_{SP}^{(U)} = -\left(\frac{V_{S2}}{V_{P1}}\right) \frac{2\rho_2 q_{S2} d_4}{d_1 d_2 + d_4 d_3};$$

 $T_{SS}^{(U)} = \left(\frac{V_{S2}}{V_{S1}}\right) \frac{2\rho_2 q_{S2} d_1}{d_1 d_2 + d_3 d_2}.$

CASO ESPECIAL: Incidência Normal à interface

$$R_{PP} = \frac{\rho_2 V_{P2} - \rho_1 V_{P1}}{\rho_2 V_{P2} + \rho_1 V_{P1}} \qquad T_{PP} = \frac{2 \rho_1 V_{P1}}{\rho_2 V_{P2} + \rho_1 V_{P1}} \quad R_{PS} = 0 \quad e \quad T_{PS} = 0$$

Impedância Acústica: $Z_i = \rho_i V_{p_i}$

$$R_{PP} = \frac{Z_2 - Z_1}{Z_2 + Z_1}$$
 $T_{PP} = \frac{2Z_1}{Z_2 + Z_1}$

$$T_{PP} = \frac{2Z_1}{Z_2 + Z_1}$$

Essas expressões podem ser usadas para analisar o comportamento da onda P em ambientes de várias camadas, para pequenos ângulos de incidência (próximos da normal)

$$R_{PS} = 0$$
 e $T_{PS} = 0$

Intuitivamente, R_{PS} e T_{PS} são nulos para incidência normal, pois não há tensão de cisalhamento para uma onda P com incidência normal à interface.

CASO ESPECIAL: Meios Acústicos (só propagam onda P)

$$R_{PP} = \frac{\rho_{2} V_{P2} \cos(\theta_{1}) - \rho_{1} V_{P1} \cos(\theta_{2})}{\rho_{2} V_{P2} \cos(\theta_{1}) + \rho_{1} V_{P1} \cos(\theta_{2})}$$

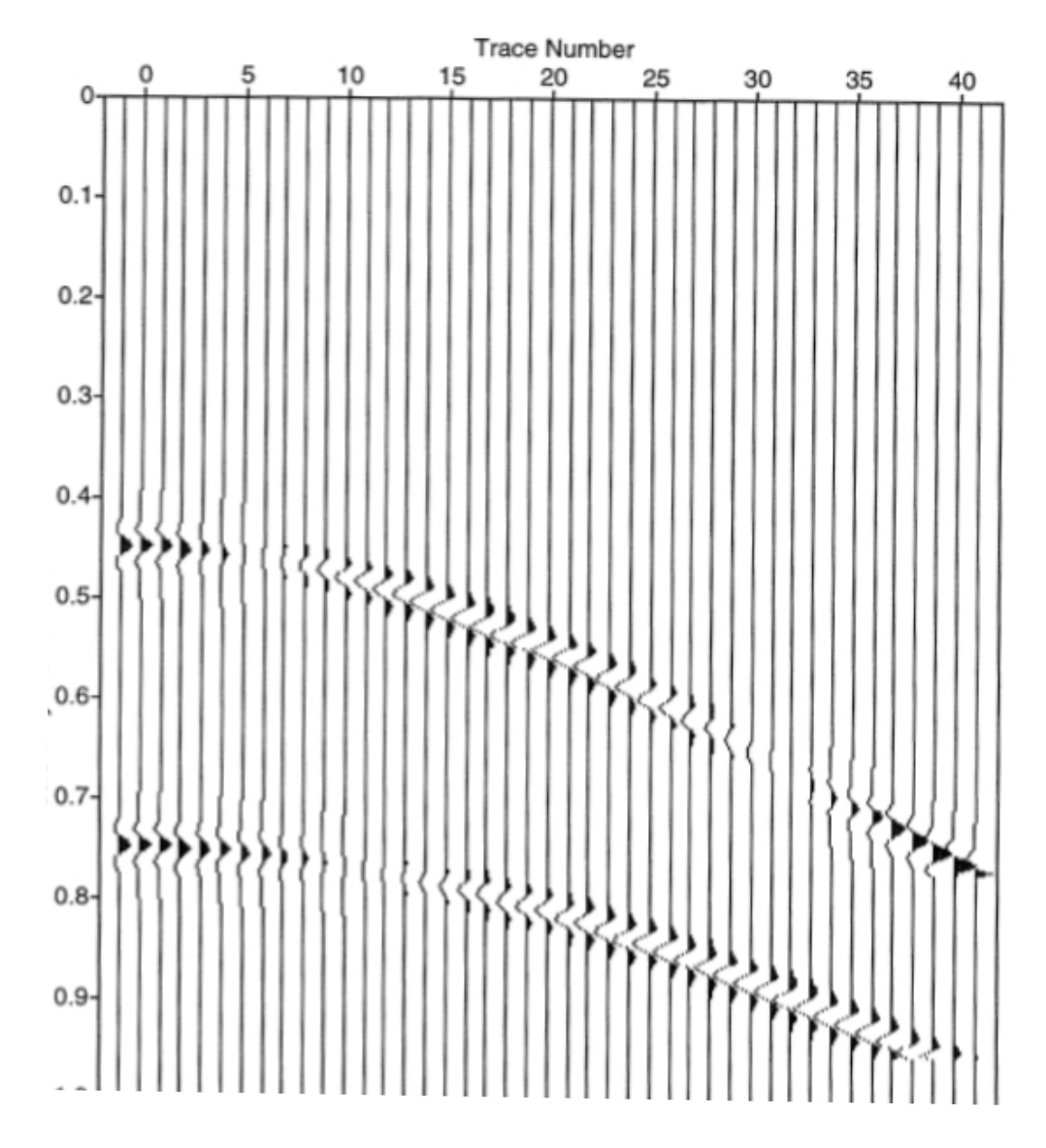
$$T_{PP} = \frac{2\rho_{1}V_{P1}\cos(\theta_{1})}{\rho_{2}V_{P2}\cos(\theta_{1}) + \rho_{1}V_{P1}\cos(\theta_{2})}$$

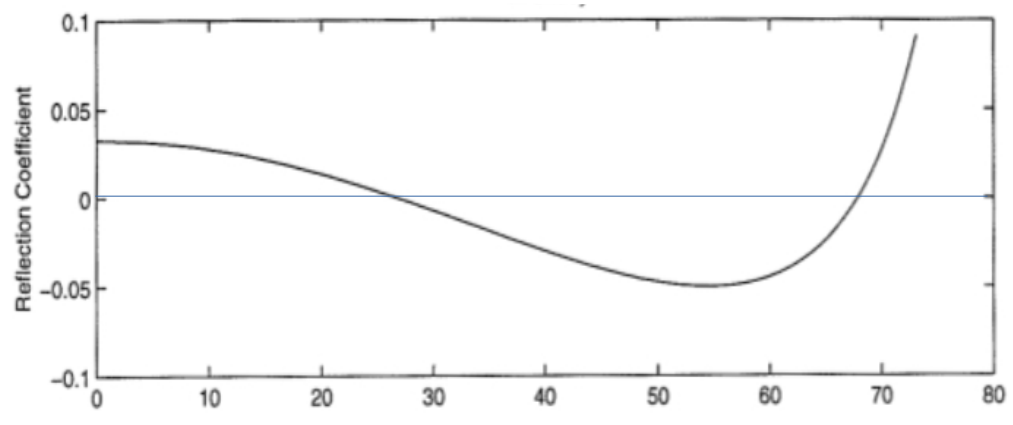
CASO ESPECIAL: Meios Acústicos (só propagam onda P)

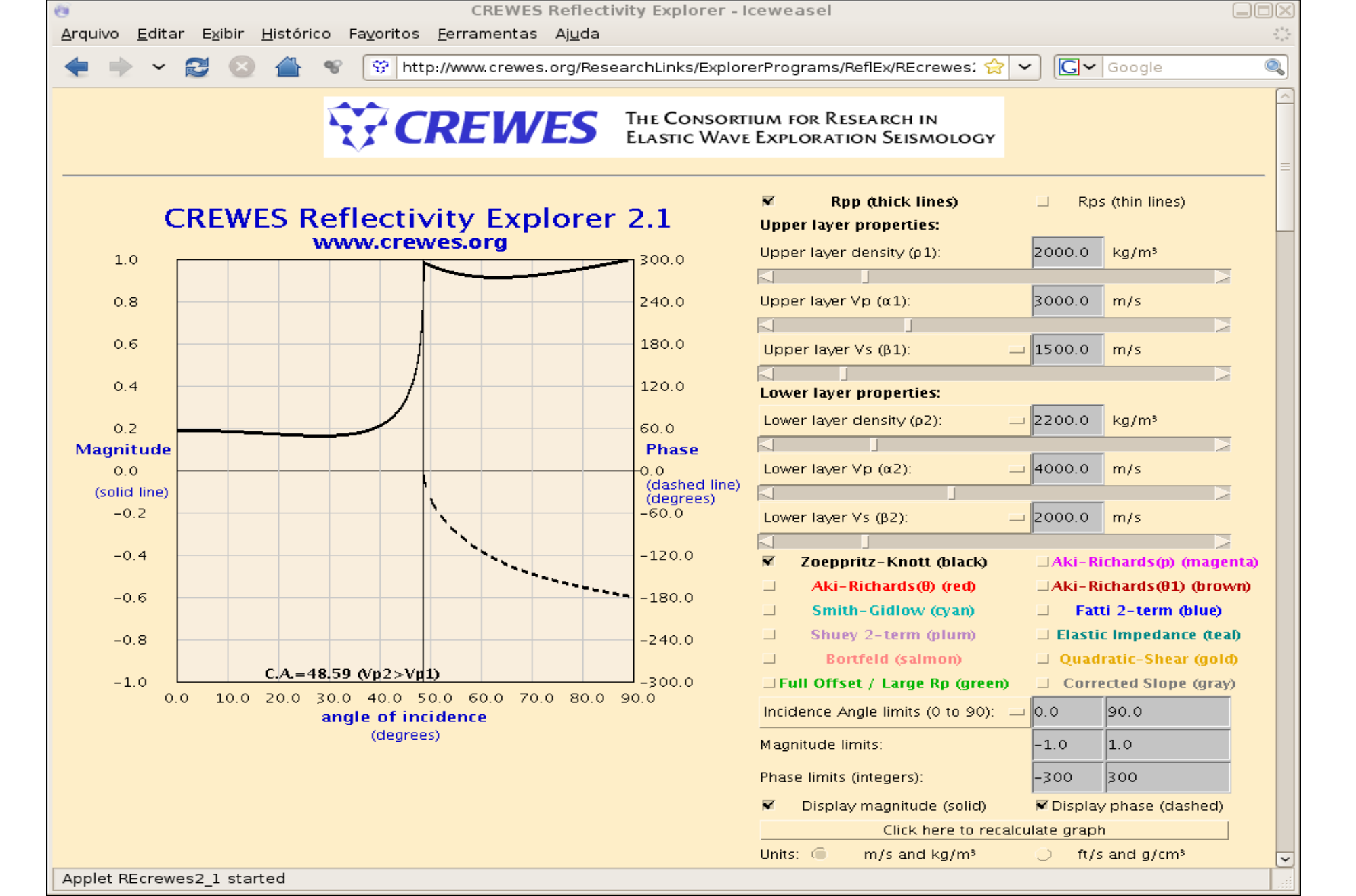
$$R_{PP} = \frac{\rho_{2} V_{P2} \cos(\theta_{1}) - \rho_{1} V_{P1} \cos(\theta_{2})}{\rho_{2} V_{P2} \cos(\theta_{1}) + \rho_{1} V_{P1} \cos(\theta_{2})}$$

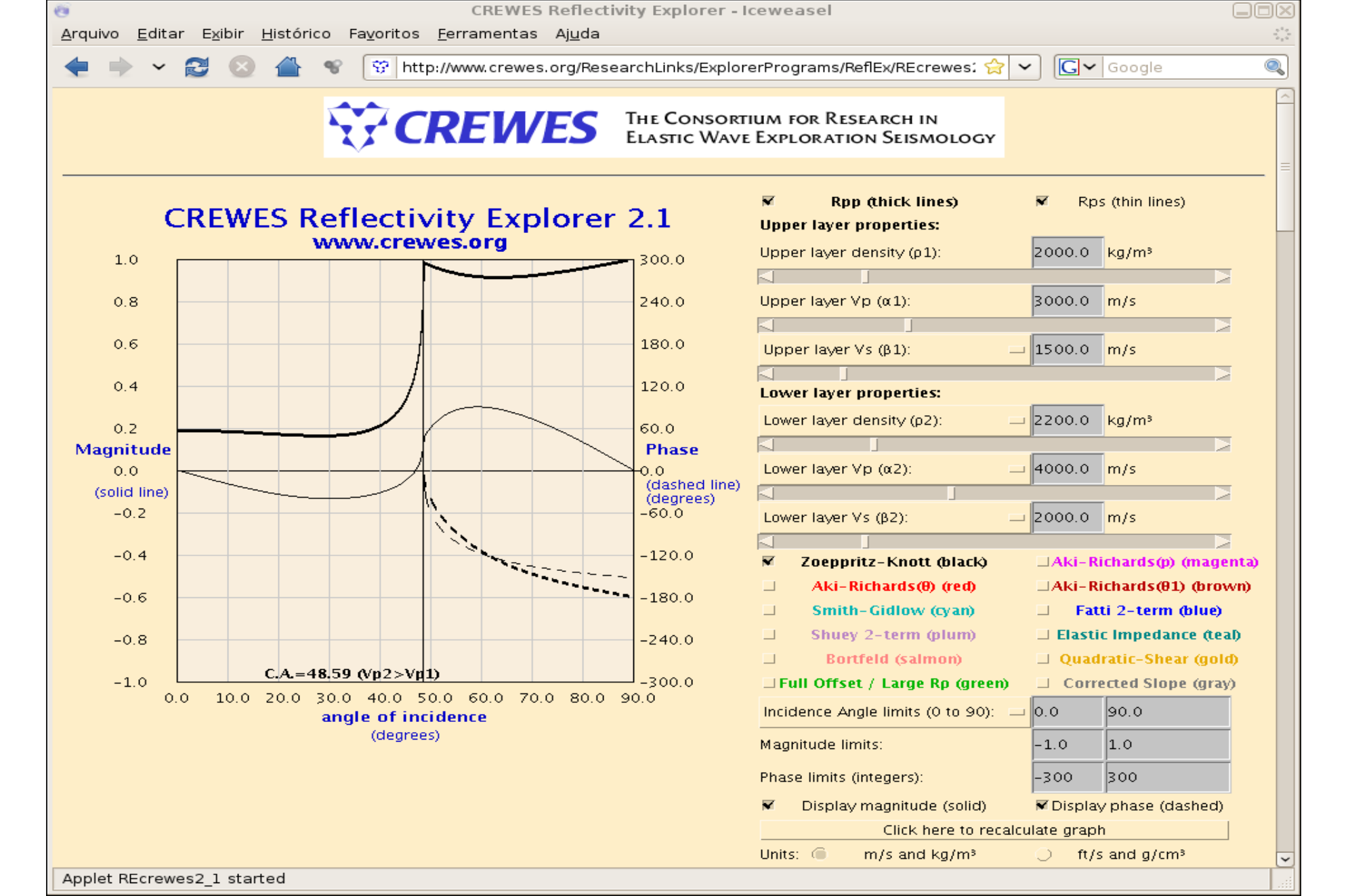
$$T_{PP} = \frac{2 \rho_1 V_{P1} \cos(\theta_1)}{\rho_2 V_{P2} \cos(\theta_1) + \rho_1 V_{P1} \cos(\theta_2)}$$

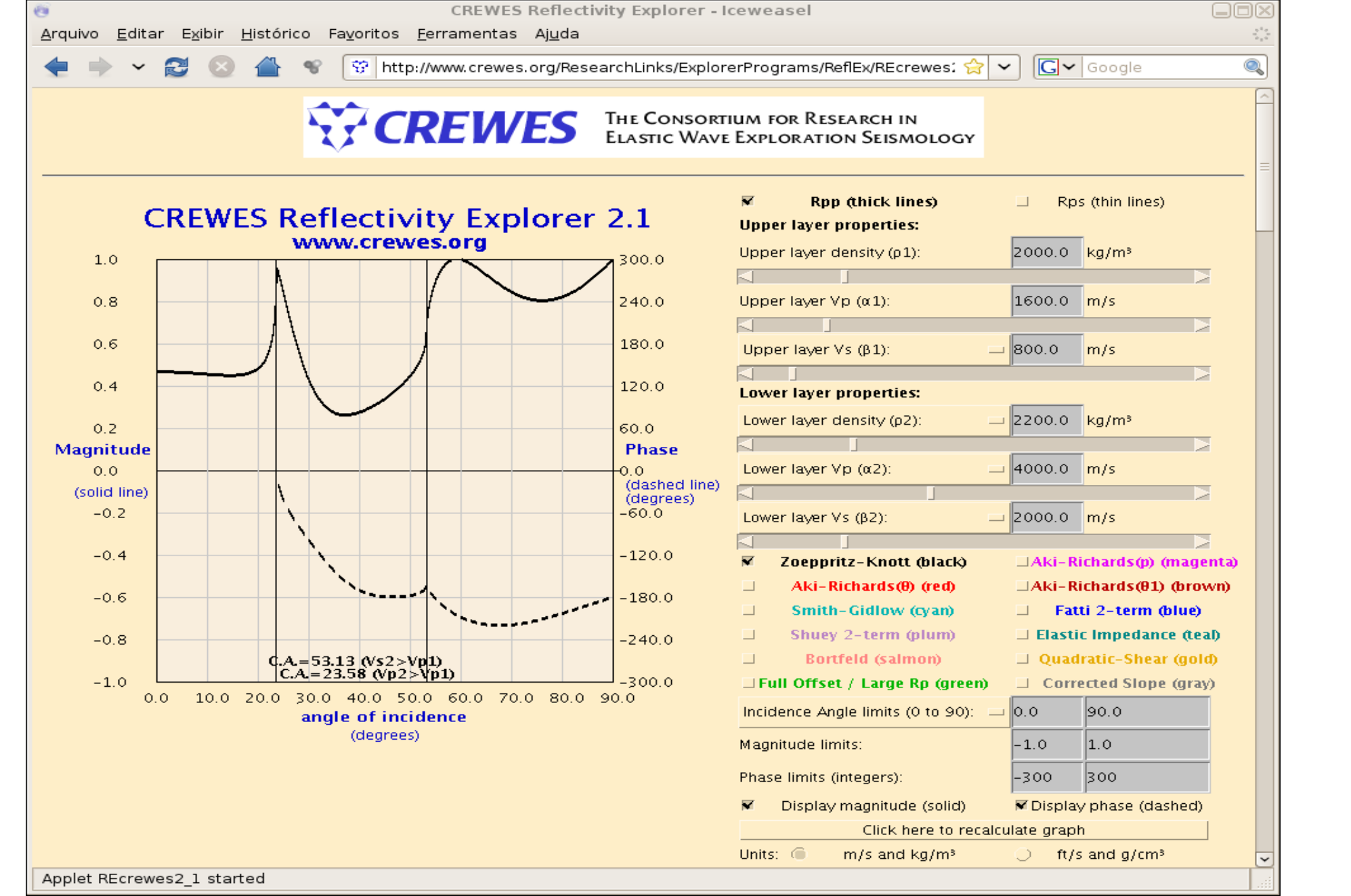
O que ocorre na expressão de Rpp quando para ângulos de incidência acima do ângulo crítico ???

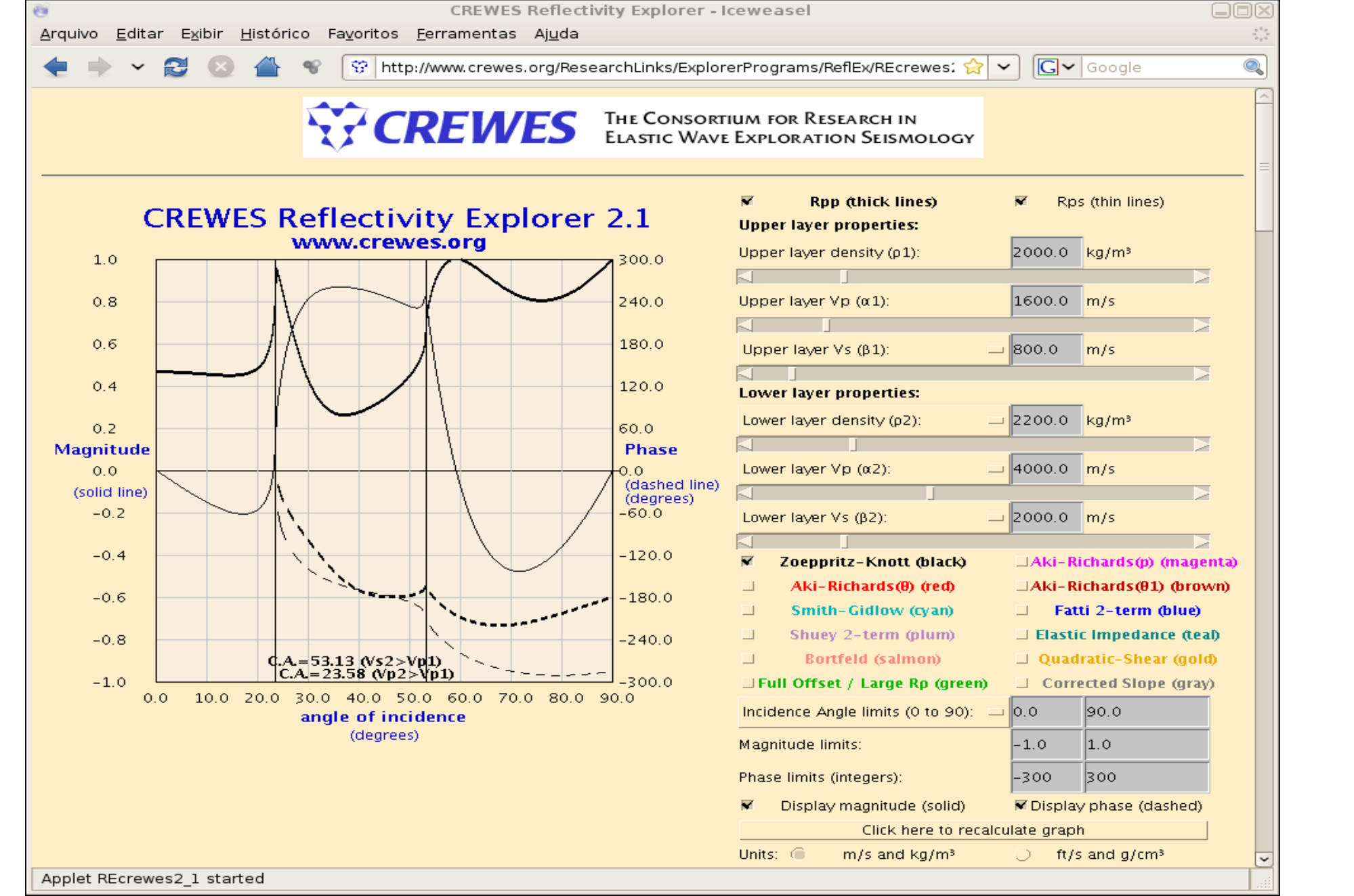












EXERCÍCIOS

CASO ESPECIAL: Incidência Normal à interface

$$R_{PP} = \frac{\rho_2 V_{P2} - \rho_1 V_{P1}}{\rho_2 V_{P2} + \rho_1 V_{P1}} \qquad T_{PP} = \frac{2 \rho_1 V_{P1}}{\rho_2 V_{P2} + \rho_1 V_{P1}} \quad R_{PS} = 0 \quad e \quad T_{PS} = 0$$

Impedância Acústica: $Z_i = \rho_i V_{p_i}$

$$R_{PP} = \frac{Z_2 - Z_1}{Z_2 + Z_1}$$
 $T_{PP} = \frac{2Z_1}{Z_2 + Z_1}$

Essas expressões podem ser usadas para analisar o comportamento da onda P em ambientes de várias camadas, para pequenos ângulos de incidência (próximos da normal)

$$R_{PS}=0$$
 e $T_{PS}=0$

Intuitivamente, R_{PS} e T_{PS} são nulos para incidência normal, pois não há tensão de cisalhamento para uma onda P com incidência normal à interface.

$$R_{PP} = \frac{A_{refletida}}{A_{incidente}}$$

$$R_{PP} = \frac{A_1}{A_0}$$

$$T_{PP} = \frac{A_{transmitida}}{A_{incidente}}$$

$$T_{PP} = \frac{A_2}{A_0}$$